

بررسی سنگ نگاری و سنگ شناسی توده نفلین سینیتی کلیبر استان آذربایجان شرقی

رسول فردوسی^۱، محسن مؤید^۲ و امین‌الله کمالی^{*}

^۱ دانشجوی دکترا، گروه زمین‌شناسی، دانشکده علوم طبیعی، دانشگاه تبریز، تبریز، ایران

^۲ استاد، گروه زمین‌شناسی، دانشکده علوم طبیعی، دانشگاه تبریز، تبریز، ایران

تاریخ پذیرش: ۱۳۹۲/۰۷/۲۰

تاریخ دریافت: ۱۳۹۲/۰۳/۱۱

چکیده

توده نفلین سینیتی کلیبر در استان آذربایجان شرقی در شمال باخته ایران واقع شده است. این توده شوشوئیتی به صورت نیمه‌ژرف در سنگ‌های آتشفشاری و رسوبی کرتاسه و اتوسن تزریق شده است. بر اساس طبقه‌بندی شیمیایی، ترکیب سنگ‌های توده مورد مطالعه به ترتیب فراوانی شامل نفلین‌دار (نفلین سینیت)، گابرو و نفلین‌دار (گابرو شوشوئیتی)، سینیت و کوارتز موتوزونیت (سینودبوریت) بوده و ترکیب دایک‌ها و پگماتیت‌های همراه شامل نفلین سینیت، سینودبوریت و گابرو می‌باشد. بافت چیره سنگ‌های منطقه مورد مطالعه پورفیریتیک گرانولار و گرانولار بوده و بافت دایک‌های وابسته غالباً گرانولار دانه‌درشت است. با توجه به بررسی کانی‌شناسی و نتایج آنالیزهای XRD، کانی‌های سنگ‌ساز مهم موجود در این توده شامل ارتوکلاز، آلبیت، نفلین، الگوکلاز، هورنبلد، اوژیت و ملاتیت می‌باشد. سرشت مگماهی مولد این توده‌ها کالک آلکالن غنی از پاتاسیم و شوشوئیتی، متالومینوس و میاشکایتی است. بررسی‌های ژئوشیمیایی و سنگ‌شناسی بر اساس عناصر فرعی و کمیاب پیانگر تشکیل این سنگ‌ها در یک محیط زمین‌ساختی مرتبط با فرورانش یا پس‌برخورده بوده که تنوعات سنگ‌شناسی آنها با تبلور تفریقی قبل توضیح است. توده‌های نفوذی منطقه غنی‌شده‌گی در مقادیر عناصر Zn، Sr، Ba، Th، Pb و همچنین دایک‌ها غنی‌شده‌گی از عناصر V، Co و Pb را نشان می‌دهند. عناصر کمیاب سبک (LREE) نسبت به عناصر کمیاب سنگین (HREE) غنی‌شده‌گی نشان می‌دهند. مقایسه توده مورد مطالعه از لحاظ مقادیر عناصر فرعی و کمیاب با توده‌های شاخص و مشابه دنیا بیانگر شاهد آنها با توده‌های آناتولی مرکزی ترکیه، Zijinshan چین و Musala هند می‌باشد.

کلیدواژه‌ها: نفلین سینیت، کلیبر، میاشکایتیک، آلکالن غنی از پاتاسیم

***نویسنده مسئول:** امین‌الله کمالی

E-mail: Am_kamali@tabrizu.ac.ir

۱- پیش‌نوشتار

اقتصادی کانسراهای نفلین سینیت رزگاه و کلیبر و بررسی امکان تولید آلمینیا از این ذخایر؛ مطالعات نسبتاً کاملی در مورد این ذخایر انجام داده است.

- عامری (۱۳۸۶) در قالب طرح پژوهشی با عنوان بررسی‌های کانی‌شناسی و ژئوشیمیایی و ویژگی‌های اقتصادی نفلین سینیت‌های آذربایجان شرقی (کلیبر، بزقوش و رزگاه) با نگرشی ویژه بر عناصر کمیاب آنها مطالعات جامعی در مورد این توده‌ها انجام داده است.

- اشرفی (۱۳۸۸) در قالب رساله دکتری با عنوان کانی‌شناسی، سنگ‌شناسی و ژئوشیمی فوئیدسینیت‌های آذربایجان شرقی، شمال باخته ایران؛ عمدتاً به مطالعات کانی‌شناسی و سن‌سنجی پرداخته است.

۲- زمین‌شناسی عمومی منطقه مورد مطالعه

محدوده مورد مطالعه در مختصات جغرافیایی "۲۲° ۴۶' ۴۶" تا "۴۹° ۳۸' ۵۳" عرض شمالی و "۱۶° ۵۳' ۴۶" تا "۲۰° ۵' ۴۷" طول خاوری واقع شده است. توده نفلین سینیتی کلیبر در نزدیکی شهرستان کلیبر قرار داشته و از طریق جاده تبریز-اهر-کلیبر می‌توان به آن دسترسی پیدا کرد. موقعیت جغرافیایی، راه‌های دسترسی و نقشه زمین‌شناسی محدوده مورد مطالعه به همراه لیتلولوژی‌های اصلی موجود در منطقه در شکل ۱ آورده شده است. بر اساس زون‌بندی‌های تکنونوماگمایی ایران، منطقه مورد مطالعه در کمریند ماگمایی البرز-آذربایجان (Alavi, 1991) قرار داشته و بر اساس زون‌بندی پیشنهادی (Stocklin 1977) این منطقه به عنوان بخشی از زون ماگمایی ترشیر-کواترنر ایران به شمار می‌رود.

قدیمی‌ترین واحد‌های سنگی مورد مطالعه در منطقه شامل تناوب سنگ‌های رسی و آهکی با میان‌لایه‌های گذازه‌های بازیک به سن کرتاسه بالایی است که با نفوذ توده نفلین سینیت دگرگون شده و هالة دگرگونی مجاورتی با پهنتای در حدود یک کیلومتر پیرامون توده نفوذی تشکیل شده است. توده نفوذی کلیبر با مساحت تقریبی

از لحاظ حجمی سنگ‌های آلکالن کمتر از یک درصد کل سنگ‌های آذرین را تشکیل می‌دهند. با این وجود، تنوع کانی‌شناسی چشمگیر آنها باعث شده که به دفعات فراوان توجه پترولولوژیست‌ها و کانی‌شناسان به آنها معطوف گردد. این توجه ویژه سبب شده که حدود نیمی از کل نام‌های سنگ‌های آذرین به سنگ‌های آلکالن اختصاص یابد. این سنگ‌ها غالباً از عناصر آلکالی غنی و از نظر سیلیس تهی هستند، در نتیجه از کانی‌هایی که در مگماهای فیفر از آلکالی و غنی از سیلیس نایاب‌اند، تشکیل می‌شوند. با این وجود، بخش زیادی از توجه معطوف شده به سنگ‌های آلکالن به خاطر تمکز بالای عناصر ناسازگار یا عناصر لیتوфیل بزرگ‌یون (LILE) در آنهاست. ویژگی‌های یاد شده فراتر از علاقمندی آکادمیک به این سنگ‌هاست چراکه بیشتر منابع Ta و عناصر کمیاب خاکی دنیا در توده‌های آذرین آلکالن و یا اطراف آنها یافت شده‌اند.

مهم‌ترین سنگ‌های نفلین سینیتی شناخته شده در ایران توده‌های نفوذی کلیبر، بزقوش و رزگاه در استان آذربایجان شرقی است. توده نفلین سینیتی کلیبر از جمله مهم‌ترین سنگ‌های آلکالن ایران به شمار می‌رود که در این نوشتار مورد مطالعه قرار گرفته است. مطالعات پیشین صورت گرفته بر روی این سنگ‌ها شامل شیمی کانی و زمین‌شناسی اقتصادی، بهویژه از نظر کاربرد آنها در صنعت تولید آلمینیا است. از جمله این مطالعات می‌توان به موارد زیر اشاره کرد:

- نقشه زمین‌شناسی ۱:۲۵۰۰۰ اهر (باباخانی و همکاران، ۱۳۶۹) تهیه شده و در آن موقعیت توده‌های نفلین سینیتی کلیبر و رزگاه مشخص شده است؛ در گزارش نقشه یاد شده نیز توضیحات مختصری راجع به آنها ارائه گردیده است.

- باباخانی (۱۳۶۰) در قالب پایان‌نامه کارشناسی ارشد خود با عنوان مطالعه سنگ‌نگاری و ژئوشیمی نفلین سینیت‌ها و فولیت‌های آذربایجان؛ عمدتاً به توده نفوذی بزقوش پرداخته است.

- نجف‌زاده (۱۳۷۱) در قالب پایان‌نامه کارشناسی ارشد با عنوان زمین‌شناسی

زمانی است که سنگ‌های موردن بررسی در حرارت‌های ۶۰ تا ۱۰۰ درجه سانتی‌گراد قرار داشتند (اشرفی، ۱۳۸۸).

۳- مواد و روش‌ها

این کار پژوهشی در دو بخش صحرایی و آزمایشگاهی انجام گرفته است. بخش صحرایی شامل پیمایش‌های صحرایی، تعیین واحدهای سنگی و نمونه برداری از واحدهای سطحی و شناسایی زون‌های نفلین سینیتی بوده است. در بخش آزمایشگاهی از نمونه‌های برداشت شده، ۴۰ مقطع میکروسکوپی نازک در کارگاه سنگ‌بری دانشگاه تبریز تهیه و بررسی جامع این نمونه‌ها انجام شد. با توجه به اینکه بخش اعظم تجزیه‌های شیمیایی، تجزیه سنگ کل بوده؛ از این رو، به منظور رهیافت به نتایج دارای صحت و دقت بالا، نمونه به روش ICP-MS و ICP-AES در خارج از کشور (آزمایشگاه Als-Chemex کانادا) تحت آنالیز قرار گرفتند. در این مطالعه برای تعیین وجود یا عدم وجود کانی‌های کلیدی مثل نفلین و آنالسیم در نمونه‌های موردن تردید و همچنین جهت تعیین کانی‌های قابل ملاحظه غیر قابل تشخیص در زیر میکروسکوپ، ۱۳ نمونه تحت تجزیه XRD در سازمان زمین‌شناسی شمال باختر کشور (تبریز) قرار گرفتند.

۴- کانی‌شناسی و سنگ‌نگاری

۱- نفلین سینیت

نفلین سینیت در نمونه دستی به رنگ خاکستری بوده و کانی‌های اصلی قابل مشاهده شامل بلورهای پاتاسیم فلدسپار و نفلین به رنگ صورتی با جلای شیشه‌ای در سطح سنگ هستند. از نظر میکروسکوپی مهم ترین و فراوان‌ترین کانی سنگ‌ساز در سنگ‌های نفلین سینیت شامل فلدسپارها (پاتاسیم فلدسپار و پلازیوکلاز)، کلینوپیروسن، آمفیبیول و گارنت می‌باشدند. بافت این سنگ‌ها معمولاً گرانولار بوده و در برخی نمونه‌ها بافت پورفیری نیز نشان می‌دهند. پاتاسیم فلدسپار (۳۰-۴۰ درصد) مهم ترین و فراوان‌ترین کانی سنگ‌ساز در سنگ‌های سینیت کلیبر به شمار رفته و دارای بافت‌های میکروبریتی، پویی کلیتیک و دوقلوی ساده به خصوص در نمونه‌های پورفیری و سابولکانیک می‌باشدند. ضریب رنگی نفلین سینیت کلیبر لوکوکرات تا مزوکرات است. نوع پاتاسیم فلدسپار براساس کانی‌شناسی میکروسکوپی و XRD اورتوکلاز است (شکل ۳-الف). بلورهای درشت ارتوز در برخی مناطق به طور ضعیفی به کائولینیت و سریسیت تجزیه شده‌اند که باعث کدر شدن سطح بلور شده است.

پلازیوکلاز (۲۵-۳۵ درصد) در اغلب مقاطع قابل مشاهده بوده و کانی شاخص در بعضی از دایک‌ها و فراوان‌ترین کانی در سنگ‌های گابریوی دیبوریتی به شمار می‌رود. بر اساس زوایای خاموشی ترکیب آنها غالباً آلتیت و الیگوکلاز است. پلازیوکلازاها گاهی دارای زونینگ و بافت پویی کلیتیک هستند (شکل ۳-ب). نفلین در سنگ‌هایی که قابل تشخیص است، غالباً به ۱۰ درصد نمی‌رسد. این کانی (تا اندازه یک میلی‌متر) به صورت دانه‌های بی‌شکل تا شش گوش حضور داشته و با بافت میان‌روزنگاری، فضای بین کانی‌های درشت‌دانه فلدسپار را پر کرده است (شکل ۳-پ). در زیر میکروسکوپ به‌واسطه بی‌فرنژانس خاکستری تیره نسبت به ارتوزکلاز، داشتن حالت ایزوتربوپ در مقاطع کاملاً عرضی، وجود کانی‌های ثانویه‌ای چون کانکرینیت، سودالیت و زئولیت در مجاورت آنها و در مقاطع تقریباً عمود بر محور C به‌واسطه علامت نوری تک محوری منفی قابل شناسایی هستند. کانی نفلین در این سنگ‌ها اغلب آبدار شده و به کانی‌های ثانویه همچون آنالسیم و سودالیت تجزیه شده است. کلینوپیروسن ویژگی نوری اوژیت و یا دیوپسید را نشان می‌دهد و به رنگ قهوه‌ای کمرنگ، سبز کمرنگ یا بی‌رنگ دیده می‌شود. در بیشتر نمونه‌ها کمتر از ۱۰ درصد (۵-۱۰ درصد) حضور دارد، با این وجود مقدار

۷۵ کیلومتر مربع بزرگ‌ترین توده آذرین قلیابی فلدسپاتوبیدار در شمال باختری ایران است. این توده آلکالن از نقطه نظر سنگ‌شناسی نسبت به توده‌های نفلین سینیتی الیگومن موجود در شمال باختر ایران (توده‌های بزقوش و رزگاه) متنوع‌تر است. بر اساس ترکیب مودال، تنوع سنگی به ترتیب فراوانی شامل: سینیت نفلین دار، مونزونیت کوارتزدار، دیبوریت/گابریو نفلین دار و مونزونیت بوده و دایک‌ها و رگه‌های همراه با این توده عموماً دارای ترکیب نفلین سینیت و نفلین گابریو هستند. توده نفلین سینیتی بیشترین سطح توده را در بر گرفته و با رنگ خاکستری، درشت‌بلور تا متوسط‌بلور و لوکوکرات تا مزوکرات است که سیستم‌های درز عمود بر هم در بیشتر بخش‌ها باعث به وجود آمدن قطعات بزرگ به حجم بیش از یک متر مکعب شده است. در برخی بخش‌ها، توده نفلین سینیتی به صورت ریز‌بلور تا متوسط‌بلور با رنگ خاکستری روشن تا صورتی نیز دیده می‌شود که عمدتاً از فلدسپار و نفلین تشکیل شده است و کانی‌های فرمونیزین آن شامل بیوتیت و آمفیبیول می‌باشد. در مجاورت دهکده کلالق و در حاشیه جنوبی-جنوب خاوری، توده نفلین سینیت کلیبر به صورت تدریجی به یک رخساره گابریوی نفلین دار با رنگ تیره تبدیل می‌شود که غنی از بلورهای تیره رنگ پپروکسن، آمفیبیول و بیوتیت و مقدار کمتری نفلین و پلازیوکلاز می‌باشد. توده نفلین گابریوی در گوشه جنوب خاوری توده کلیبر که آهک‌های کرتاسه بالایی در مجاورت با توده نفوذی قرار گرفته‌اند بیشترین گسترش را (بیش از ۲ کیلومتر سبیرا) داراست. در حالی که به سمت باختر، سبیرای آن به کمتر از ۵۰ متر می‌رسد (باختر روستای حیران-علیا). توده‌های سینودیبوریتی و گرانودیبوریتی که به صورت توده‌های طوبی و همچنین به صورت گنبدی‌های منفرد به‌ویژه در بخش‌های جنوبی و خاوری منطقه کلیبر رخمنون دارند؛ در داخل توده نفلین سینیتی کلیبر نیز به صورت استوک‌های کوچک مشاهده می‌شوند. سطح فرسایش آنها به رنگ خاکستری و سطح شکست آنها صورتی روشن می‌باشد. بافت آن دانه‌درشت تا متوسط و کانی‌های مافیک آن همچون آمفیبیول و بیوتیت در آن آشکارا قابل مشاهده است. همچنین درون توده‌های گرانوئیتی دستگاه‌های پگماتیتی درون شکاف‌ها و شکستگی‌ها تشکیل رگه‌های پگماتیتی را داده‌اند که دارای کانی‌های پسیار درشت بیوتیت، مسکوکویت، کوارتز و پلازیوکلاز است.

رگه‌های پگماتیتی وابسته به نفلین سینیت در بخش‌های مختلف توده و اغلب همراه میکروسینیت‌ها به‌ویژه در بخش شمالی (قلعه بابک)، خاوری (روستای کلالق) و جنوب باختری (روستای برزندیق) یافت می‌شوند. از لحاظ ترکیبی مشابه ترکیب نفلین سینیت هستند، ولی ساخت پگماتیتی دارند. لازم به ذکر است که گارنت (ملاتیت) درشت و شکل دار در رگه‌های پگماتیتی یاد شده نسبت به بخش‌های دیگر فراوان‌تر است. دایک‌ها و رگه‌های میکروسینیتی با سبیرای چند سانتی‌متر تا ۴ متر در رخمنون‌ها مشاهده شده است. این نوع دایک‌ها و رگه‌ها غالباً در داخل توده نفلین سینیتی و نفلین گابریوی رخمنون دارند.

در امتداد همیری توده کلیبر در شمال و باختر با شیل و ماسه‌سنگ‌های کرتاسه بالایی و در بخش جنوبی با سنگ‌های آتش‌شانی کرتاسه، دگرگونی مجاورتی جالب توجهی رخ داده است. دگرگون شدن سنگ‌های آهکی، رسی و آذرآواری و بازیک در هاله باعث تشکیل انواع واحدهای دگرگونی از جمله هورنفالس‌های رسی، آهکی-سلیکاتی و متابازیک در منطقه شده است (حاج‌علی اوغلی، ۱۳۸۰).

در امتداد این همیری، زون‌های دگرگانی متساوماتیک و ذخایر اسکارنی اقتصادی ایجاد نشده و تنها آثاری از لکه‌های ملاکیت همراه با ایلمنیت و کانسنگ‌های آهن مشاهده می‌شود. همچنین در دگرگونی‌های درجه بالا به علت گرمای حاصل از توده، سنگ‌های رسی ذوب شده، میگماتیت‌های حاصل از آناتکسی در مقایس سیار کوچک در این سنگ‌ها تشکیل شده‌اند (حاج‌علی اوغلی، ۱۳۸۶). میانگین سن اثر شکافت آپاتیت برای توده نفلین سینیتی کلیبر ۳۶/۶±۳/۶ میلیون سال تعیین شده است که نشانگر

و فلدرسپار تشکیل شده‌اند. آنالسیم در نمونه‌هایی که حاوی گارنت درشت هستند بهتر قابل تشخیص است. در این حالت آنالسیم به صورت اگرگات (تجمع چند بلور در کنار هم) و نزدیک به هسته گارنت‌ها مشاهده می‌شود. نتایج XRD گوای رخداد آن در پیشتر نمونه‌هاست (شکل ۳-ج). کوارتز جایی که سنگ‌های سینیتی کوارتزدار و گرانودیوریتی مشاهده می‌شود و مقدار آن در این نمونه‌ها به ندرت تا ۱۵ درصد می‌رسد، مشاهده می‌شود. اسفن در پیشتر نمونه‌ها دیده می‌شود، معمولاً به صورت شکل‌دار و تجمعی است و از کانی‌های شاخص توده به شمار می‌رود (شکل ۳-خ). کانی‌های ثانویه شامل سریسیت، اپیدوت، زئولیت، کلریت، اکسید آهن، کلسیت، کانکرینیت، کوارتز، کانی‌های رسی و سودالیت است.

نتایج آنالیز‌های XRD (جدول ۱) نشان‌دهنده حضور کانی‌هایی از جمله آنالسیم، زئولیت (ناترولیت) و نفلین و همچنین وجود فلدرسپار باریم‌دار ($\text{Ba}_2\text{Al}_2\text{Si}_2\text{O}_8$) یعنی سلزین (Celsian) در نفلین سینیت‌های مورد بررسی بهویژه در دایک‌های منطقه است.

۵- رُؤشیمی

نتایج آنالیز شیمیایی نمونه‌های سنگی منطقه در جدول ۲ و ۳ ارائه شده است. بر اساس طبقه‌بندی شیمیایی مجموع آلکالی در برابر سیلیس (Cox et al., 1979) پیشتر نمونه‌ها جزو سنگ‌های حدوداً از لحاظ سیلیس به شمار می‌روند (نفلین سینیت، سینیت و سینودیوریت) و نمونه‌هایی در محدوده سنگ‌های بازیک (گابرو) قرار می‌گیرند (شکل ۴). این سنگ‌ها از نظر سری ماگماهی متعلق به سری آلکالن بوده ولی به دلیل پایین بودن میزان تیتان نمی‌توان آنها را آلکالن پاتاسیم در نظر گرفت و به کاربردن سری شوشوینیتی برای این مجموعه صحیح تر است. میزان SiO_2 بین ۴۷-۶۰ و میزان K_2O مابین ۲-۹ درصد است (شکل ۵). مجموع آلکالی این سنگ‌ها بیش از ۵ درصد است. و دارای نسبت $\text{K}_2\text{O}/\text{Na}_2\text{O}$ بزرگ‌تر از یک می‌باشد. سنگ‌های غنی از K واقعی، شدیداً تحت اشباع از سیلیس هستند و شامل لویست نورماتیو قابل ملاحظه‌ای هستند. نمونه‌های مورد بررسی در نمودار ضربی اشباع از آلومنیوم (Shand, 1943)، در محدوده متاآلومینوس قرار می‌گیرند (شکل ۶).

به منظور تعیین منشأ نمونه‌های مورد مطالعه داده‌های شیمیایی به گوشته اولیه (ترکیب گوشته قبل از تشکیل پوسته)، (داده‌ها از Sun and McDonough, 1989) بهنجار شده‌اند (شکل ۸). در نمودارهای بهنجار شده به گوشته اولیه، ناسازگاری عناصر از چپ به راست کاهش می‌یابد. بر اساس این نمودار بی‌هنجاری‌های مثبت مهم را می‌توان برای عنصر K, Pb و Rb و Bی‌هنجاری‌های منفی مهم را برای عناصر Ti و Nb مشاهده کرد. این غنی‌شدگی در سنگ‌هایی در منطقه می‌تواند در ارتباط با فرایند متاسomatیسم گوشته و یا آلایش پوسته قاره‌ای باشد و بی‌هنجاری منفی عناصر Ti و Nb را می‌توان جزو بی‌هنجاری منفی TNT (تیتانیم، نیوبیم و تاتالیم) به شمار آور. تأثیر فرورانش بر منابع گوشته‌ای می‌تواند در ایجاد این بی‌هنجاری مؤثر باشد (Soesoo, 2000). دلیل تخلیه Ti در ماگماتیسم مرتبه با فرورانش فوگاسیته بالای O₂ در زون فرورانشی است. وقتی که فوگاسیته اکسیژن بالا باشد دمای بیشتری لازم است تا فازهای حاوی Ti در مذاب‌های پاتاسیک مشق شده از منطقه فرورانش تخلیه شود. بنابراین تخلیه Ti صورت نگرفته و در نتیجه، این عنصر بی‌هنجاری منفی نشان می‌دهد. همچنین بی‌هنجاری منفی در Ti معکس کننده نقش اکسیدهای Fe-Ti و بی‌هنجاری منفی Nb شاخص سنگ‌های قاره‌ای است و ممکن است نشان‌دهنده مشارکت پوسته در فرایندهای ماگماهی باشد (Rollinson, 1993). به نظر Ionov and Hofmann (1995) آمفیبول کانی سیار مناسبی برای نگهداری Nb و Ta در گوشته بالایی است و می‌تواند بی‌هنجاری منفی Nb و Ta را در ماگماتیسم مربوط به زون فرورانش کنترل کند.

الگوهای چند عنصری از نمونه سنگ‌های محیط‌های زمین ساختی ریفتی یا نقطه داغ مانند سینیت‌های Reunion (Fisk et al., 1988)، تراکیت‌های کنیا

آن تا ۳۵ درصد در سنگ‌های گابرویی می‌رسد. این کانی معمولاً توسط آمفیبول احاطه شده است (بافت کرونا). آمفیبول کانی نسبتاً فراوانی بوده و مقدارش تا ۴۰ درصد در برخی نمونه‌ها می‌رسد. آمفیبول سبز (هورنبلند) به دو صورت دانه‌های مجزا و نوارهای اطراف کلینوپیروکسن‌ها می‌شود. زمانی که به صورت مجزا (منفرد) مشاهده می‌شود، گاهی ماکل ساده نشان می‌دهد (شکل ۳-ت). گارنت در سنگ‌های فوییدار تفریق یافته تر به صورت شکل‌دار و بین دانه‌ای یافت می‌شود. طبق بررسی‌های میکروسکوپی گارنت ویزگی‌های نوع ملاتیت (تیتانیم آندرادیت) را نشان می‌دهد.

بر اساس شیمی کانی‌ها، گارنت‌های کلیر را می‌توان Ti-Ti-آندرادیت و ملاتیت نامید، بنابراین به نظر می‌رسد که گارنت‌های توده کلیر به صورت فاز آذرین اولیه و در مراحل آخر بلور ماگماهی تشکیل شده‌اند (اشرفی، ۱۳۸۸).

۴- ۲. آلکالی گابرو (گابرو نفلین‌دار)

این واحد عمده‌تاً در حواشی نفلین سینیت مشاهده می‌شود. بافت این سنگ‌ها گرانولار بوده و معمولاً از کانی‌های پلاژیوکلاز، کلینوپیروکسن، بیوتیت، پاتاسیم فلدرسپار، اکسید-Fe-Ti و نفلین تشکیل شده‌اند. پلاژیوکلازها گاهی زونینگ نشان می‌دهند. کلینوپیروکسن‌ها معمولاً شکل‌دار و سبز کمرنگ بوده ولی گاهی مایل به قهوه‌ای کمرنگ‌اند. مقدار کلینوپیروکسن تا ۳۵ درصد می‌رسد. بیوتیت کانی معمول در این سنگ‌ها بوده و در برخی نمونه‌ها تا ۲۰ درصد حجمی حضور دارد. این کانی در پیشتر نمونه‌ها مشاهده شده و در سنگ‌هایی که پاتاسیم فلدرسپار به عنوان کانی اساسی حضور ندارد، به عنوان کانی مهم و فراوان به شمار می‌رود. در نمونه‌های گابرویی/دیوریتی مقدار بیوتیت معمولاً کمتر از ۲۰ درصد بوده و بافت پویی کلیتیک و رخهای (کلیوژهای) خمیده از خود نشان می‌دهد (شکل ۳-ث).

۴- ۳. سینودیوریت (کوارتز موفزوفیت)

این سنگ‌ها در نزدیکی روستای ولندران مشاهده می‌شوند. بافت این سنگ‌ها گرانولار بوده و معمولاً دارای کانی‌های پاتاسیم فلدرسپار، پلاژیوکلاز، کوارتز، کلینوپیروکسن، زیرکن، آپاتیت و اکسید-Fe-Ti هستند. پاتاسیم فلدرسپارها میکروپیریتی بوده و بافت پویی کلیتیک نیز نشان می‌دهند. اندازه آنها گاهی تا ۶ میلی‌متر نیز می‌رسد و حالت خمیدگی نشان می‌دهند. پلاژیوکلازها گاهی زونینگ نشان داده و در حاشیه آنها بافت میرمکتی دیده می‌شود. مقدار کوارتز در این نمونه‌ها تا ۱۵ درصد می‌رسد.

۴- ۴. دایک‌ها و رگه‌ها

با توجه به مطالعات صحرایی و زمین‌شناسی بیشتر دایک‌ها و رگه‌های موجود در داخل توده کلیر عمده‌تاً در بخش شمالی (قلعه بابک)، خاوری (روستای کلالق) و جنوب باختری (روستای بوزندیق) یافت می‌شوند. این واحدها از لحاظ ترکیبی مشابه ترکیب نفلین سینیت می‌باشند، ولی ساخت پگماتوپیدی نیز دارند (شکل ۴-پ-ت). گارنت در سنگ‌های فوییدار بهویژه دایک‌ها و به صورت شکل‌دار، اسکلتی و رگه‌ای یافت می‌شود. طبق بررسی‌های میکروسکوپی کانی گارنت ویزگی‌های نوع ملاتیت (تیتانیم آندرادیت) را نشان می‌دهد. اگرچه طبق نتایج XRD اواروویت (گارنت کروم‌دار) تشخیص داده شده است (شکل ۳-ج و ح). با توجه به این که ویزگی‌های میکروسکوپی اواروویت در نمونه‌ها دیده نمی‌شود، و با توجه به اینکه میزان کروم نمونه‌های مورد بررسی بر اساس نتایج آنالیز نفلنگ کل خیلی پایین است (کمتر از ۱۰ ppm) در نتیجه این گارنت‌ها نمی‌توانند از نوع اواروویت باشند. افزون بر این موارد، لازم به یادآوری است که در مورد انواع گارنت‌ها پیک‌های شاخص XRD برای شناسایی نوع ملاتیت وجود ندارد. ملاتیت‌های درشتی که اندازه آنها حدود ۱ سانتی‌متر است، اغلب دارای اینکلولوژن‌های آنالسیم و پاتاسیم فلدرسپار هستند. گارنت (ملاتیت) درشت و شکل‌دار در رگه‌های پگماتیتی نسبت به بخش‌های دیگر فراوان تر است. گاهی رگه‌های پگماتیتی فاقد کانی‌های تیره بوده و تنها از نفلین

تشکیل و تبلور ماغما مربوط باشد. تحت این شرایط Eu^{3+} به Eu^{2+} تبدیل شده و از ورود آن به شبکه فلدسپارها جلوگیری به عمل می‌آورد. در این بین نمونه‌های Ilmask و میانگین نفلین سینیت (Sorensen, 1979) مقادیر REE بالاتری را نشان می‌دهند. محاسبات نشان داده که هر چه درصد ذوب بخشی افزایش یابد مقدار REE و نسبت LREE/HREE کاهش می‌یابد (Hastie et al., 2007). بنابراین احتمالاً نرخ ذوب بخشی در تشکیل توده‌های موربد بررسی بیشتر از Ilmask بوده است.

به منظور تمایز محیط‌های زمین‌ساختی مرتب با فروراش (subduction-related) با محیط‌های زمین‌ساختی پس‌برخوردی (post-collisional) و محیط‌های همراه با کشش قاره‌ای و دور از فروراش از نسبت تغییرات Zr-Nb سنگ‌های آلکالن استفاده می‌شود. مقادیر بالای این عناصر مخصوص سنگ‌های آلکالن دور از فروراش بوده و غالباً ویژگی‌های محیط‌های زمین‌ساختی مرتب با کشش (extension-related) را نشان می‌دهند (Thompson and Fowler, 1986). برای مثال در سینیت‌های Namibia تجمع این عناصر بالا بوده ($\text{Zr}=400\text{-}1100 \text{ ppm}$; $\text{Nb}>200 \text{ ppm}$) که یک محیط مرتب با کشش دور از فروراش را برای آن منطقه در نظر گرفته‌اند (Jung et al., 2007). با توجه به این مقادیر و با در نظر گرفتن مقادیر میانگین برای سنگ‌های مشابه در کلیبر ($\text{Zr}=50\text{-}300 \text{ ppm}$; $\text{Nb}<50 \text{ ppm}$) احتمالاً محیط‌های مرتب با فروراش و پس از برخورد، محیط‌های زمین‌ساختی مناسبی برای تشکیل این سنگ‌ها می‌باشدند.

طبق نظر برخی از پژوهشگران ماقماهای آلکالن جایگیر شده در زون‌های فروراش دارای نسبت‌های Ba/Nb و La/Nb بالاتری هستند $\text{La}/\text{Nb}=3\text{-}12$, Thompson & Fowler, 1986; Thirlwall & Burnard, 1990; ($\text{Ba}/\text{Nb}>20$), (Fowler, 1992) این نسبت‌ها برای اعضای فاقد آلودگی که مذاب آلکالن آنها در یک محیط مرتب با کشش جایگیری کرده باشد، پایین‌تر است (Jung et al., 2007). این نسبت برای بیشتر نمونه‌های منطقه موربد مطالعه به ویژه سنگ‌های اصلی بالا می‌باشد که احتمال جایگیری آنها در زون فروراش را تقویت می‌کند (شکل ۱۱). با این وجود، چنانچه از شکل مشخص است بیشتر نمونه‌های دایکی با نسبت‌های پایین مشخص می‌شوند. در نمودار Zr در مقابل Y و Al_2O_5 در برابر TiO_2 که برای جدا نمودن محیط زمین‌ساختی سنگ‌های پتاویک درون صفحه‌ای و محیط مرتب با کمان به کار می‌روند (Muller et al., 1992)، سنگ‌های موربد مطالعه در محیط زمین‌ساختی مرتب با کمان قرار می‌گیرند (شکل ۱۲-الف و ب). سنگ‌های پتاویک محیط‌های زمین‌ساختی قاره‌ای و پس از برخورد با تمرکز متوسط HFSE, LILE, REE و $\text{Ce}/\text{P}_2\text{O}_5$ درین سایز بیرون از کمان‌های (Muller et al., 1992) برای جدا کردن سنگ‌های کمان‌های قاره‌ای از کمان‌های پس از برخورد از نمودار سه تایی $\text{Ce}/\text{P}_2\text{O}_5 - \text{Nb} \times 50 - \text{Zr} \times 3$ می‌توان استفاده کرد. با توجه به این نمودار نمونه‌های موربد مطالعه در محدوده کمان‌های قاره‌ای قرار می‌گیرند، با توجه به نمودارهای اسپایدر به خاطر اینکه P_2O_5 دارای بی‌هنگاری منفی است لذا در نسبت $\text{Ce}/\text{P}_2\text{O}_5$ تأثیر گذاشته و مقدار آن افزایش می‌یابد و این خود سبب می‌شود نمونه‌ها در نمودار مثلثی به طرف میدان arc کشیده شوند (شکل ۱۳).

۶- برداشت

- توده نفلین سینیتی کلیبر همانند بیشتر توده‌های آلکالن به صورت هیپولکانیک (ساب و لکانیک یا نیمه‌زرف) جایگیری کرده است که از شواهد صحرایی آن می‌توان به موارد ذیل اشاره کرد: ۱- رخداد کانی‌های سودولوویت در برخی بخش‌های توده؛ ۲- وجود بافت پورفیری در بیشتر سنگ‌ها؛ ۳- رخداد پلاژیوکلازهای منطقه‌بندی شده؛ ۴- تغییر تدریجی ساخت سنگ از دانه‌ای در مرکز توده به نیمه متبلور و یا پورفیری در حاشیه توده.

(Baker, 1987) و بازالت‌های آلکالی ویکتوریا (McDonough et al., 1985) نسبت به Nb و Ta غنی‌شدگی نشان می‌دهند (McDonough et al., 1985; Menzies, 1987) نمودار چند عنصری بهنجار شده به گوشته اولیه نفلین سینیت‌های منطقه Namibia دارای تهی شدگی ملایم در Rb و Pb و Th نسبت به Ba و U می‌باشد. همچنین این سنگ‌ها تهی شدگی نسبی در P و Ti، اما غنی‌شدگی در Nb و Zr نشان می‌دهند که یک محیط مرتب با ریفت (محیط مرتب با کشش دور از فروراش) برای این منطقه دور از ذهن نیست (Jung et al., 2007). سینیت‌های Namibia نیز در ارتباط با یک محیط مرتب با ریفت می‌باشند. بنابراین سنگ‌های منطقه به احتمال زیاد در محیط‌های ریفتی کششی تشکیل نشده‌اند.

در کل، با در نظر گرفتن مباحث یاد شده، به نظر می‌رسد که گوشته سنگ‌کره‌ای متاسوماتیزه شده توسط سیالات حاصل از سنگ‌کرده فرورونده سبب به وجود آمدن ماقماهی سازنده سنگ‌های موربد مطالعه شده است.

لازم به توضیح است میانگین نمونه‌های موربد بررسی بهنجار شده به متوسط پوسته (Weaver and Tarney, 1984) (نشانگر تهی شدگی نسبی در Ti , Nb و Zr و غنی‌شدگی نسبی در بقیه عناصر به ویژه K , Rb و P است (شکل ۹).

الگوی عناصر کمیاب خاکی بهنجار شده به کندریت برای میانگین دایک‌ها و سنگ اصلی هر یک از توده‌های موربد بررسی روندهای مشابه و موازی را نشان می‌دهد (شکل ۱۰). که این امر دلالت بر مشابه فرایندهای ماقماهی سازنده این سنگ‌ها دارد. با استفاده از نسبت‌های (CeN/YbN) , (LaN/SmN) , (LaN/YbN) و (CeN/REE) را تعیین کرد (Rollinson, 1993). نسبت‌های بالا به ترتیب برای سنگ‌های موربد بررسی بین $2/28\text{-}21/14\text{-}7/8\text{-}36/91$ و $5/80\text{-}19/28$ است. میزان پایین HREE ها نسبت به LREE ها می‌تواند به علت درجه پایین ذوب بخشی منبع گوشته‌ای و آlodگی ماقما با پوسته (Srivastava and Singh, 2004) باقی ماندن گارنت در سنگ خاستگاه (Clague and Frey, 1982) و یا حضور نقش فاز سیال در ماقماهی اسیدی در هنگام جدایش ماقما (Kogiso et al., 1997) باشد. بالا بودن نسبت LREE/HREE نشان دهنده ژرفای زیاد تولید ماقما یعنی همان خاستگاه گارنت لرزولیت است. زیرا عناصر کمیاب خاکی سنگین معمولاً در شبکه روتیل، زیرکن و گارنت جای می‌گیرند. از این رو وقی که ذوب در ژرفای زیاد صورت می‌گیرد این عناصر HREE در گارنت، روتیل و زیرکن متترکز می‌شوند، و از ورود آنها به مذاب حاصل از ذوب بخشی جلوگیری شده و بنابراین نسبت HREE/LREE در فاز مایع، کاهش می‌یابد. همچنین در درجات کم ذوب بخشی (کمتر از 10°C) می‌تواند به تشکیل ماقماهی بازالتی آلکالن بینجامد، که یک غنی‌شدگی در الگوی عناصر کمیاب خاکی سبک (LREE) نشان دهد (Wass and Roger, 1980). بنابراین می‌توان گفت درجات پایین ذوب بخشی به همراه وجود گارنت، زیرکن و روتیل در منشأ از مهم‌ترین عوامل برای غنی‌شدگی HREE نسبت به HREE شمار می‌روند.

الگوی توده‌های موربد بررسی و نمونه‌های تحت مقایسه مربوط به توده نفلین سینیتی الگویی با شبیه کم و منفی نشان می‌دهد که در آنها بی‌هنگاری منفی قابل مشاهده است اگر نسبت Eu/Eu^+ بزرگ‌تر از ۱ باشد بی‌هنگاری مثبت و اگر کوچک‌تر از ۱ باشد بی‌هنگاری منفی خواهد بود. نسبت Eu/Eu^+ محاسبه شده برای نمونه‌های منطقه موربد مطالعه، اکثر کوچک‌تر از ۱ بوده و بنابراین دارای بی‌هنگاری منفی است. نسبت Eu/Eu^+ بین $0/397\text{-}1/23\text{-}1/11$ تا $0/397$ است. گفتنی است که بی‌هنگاری منفی Eu در نتیجه جدا شدن پلاژیوکلاز و یا فلدسپار پتابسیم دار از مذاب فلسفیک چه به وسیله تفریق بلوری و چه به سبب ذوب بخشی (که در آن فلدسپار در تفاله باقی می‌ماند) می‌باشد و انباست فلدسپار، بی‌هنگاری مثبت Eu را در بر دارد (Jung et al., 2007). همچنین بی‌هنگاری منفی Eu می‌تواند به شرایط اکسیدان

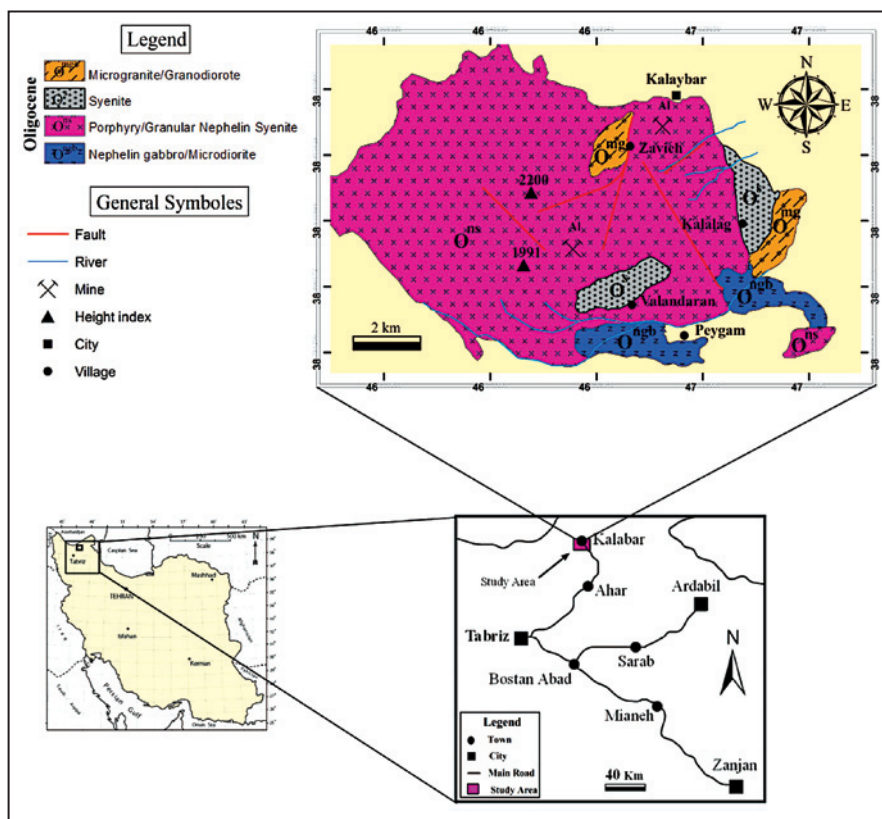
- حضور گارنت تیتان دار در نفلین سینیت های کلیبر نشان می دهد که ماگما ای تشکیل دهنده این سنگ ها، قریب از آلومینیم نبوده و ضریب آگپایتی آن حداقل ۱ بوده است زیرا ملاتیت خاص سنگ های میاسکیتی بوده و در سنگ های آگپایتی دیده نمی شود. حضور کانی هایی مانند ملاتیت و تیتانیت نشانگر ماگما اولیه غنی از تیتان برای سنگ های مورد مطالعه است.

سپاسگزاری

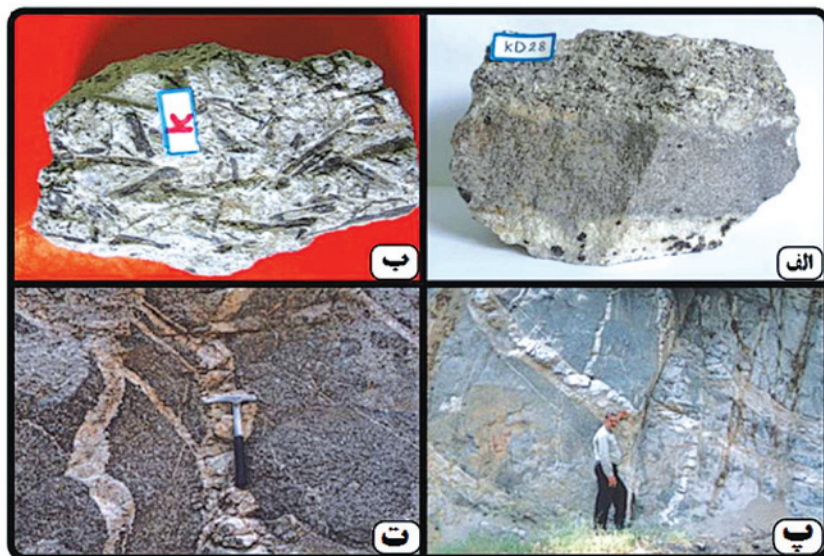
این مقاله مستخرج از طرح پژوهشی استاد مرحوم دکتر علی عامری است که از طرف معاونت پژوهشی و تحصیلات تکمیلی دانشگاه تبریز تأیید و حمایت مالی شده است از این رو شایسته است نگارندگان نهایت سپاس و قدردانی خود را از آنها ابراز دارند. همچنین نگارندگان از نظرات و پیشنهادات ارزنده و سازنده داوران محترم مجله سپاسگزاری می نمایند.

- بر اساس طبقه بنی شیمیابی تیپ های سنگی مهم در توده مورد مطالعه شامل نفلین سینیت، آلكالی گابرو، سینیت و سینودیوریت، ترکیب سنگی دایک ها و پگماتیت ها شامل نفلین سینیت، سینودیوریت و گابرو هستند. مهم ترین کانی های سنگ ساز توده شامل آلكالی فلدسپار، نفلین، پلاژیو کلاز، آمفیبول، اوژیت، گارنت (ملاتیت)، بیوتیت، اسفن، تیتانو مینیت، کانکرینیت، سودالیت، آنسالسیم، سلزین، آپاتیت و زیر کن می باشد.

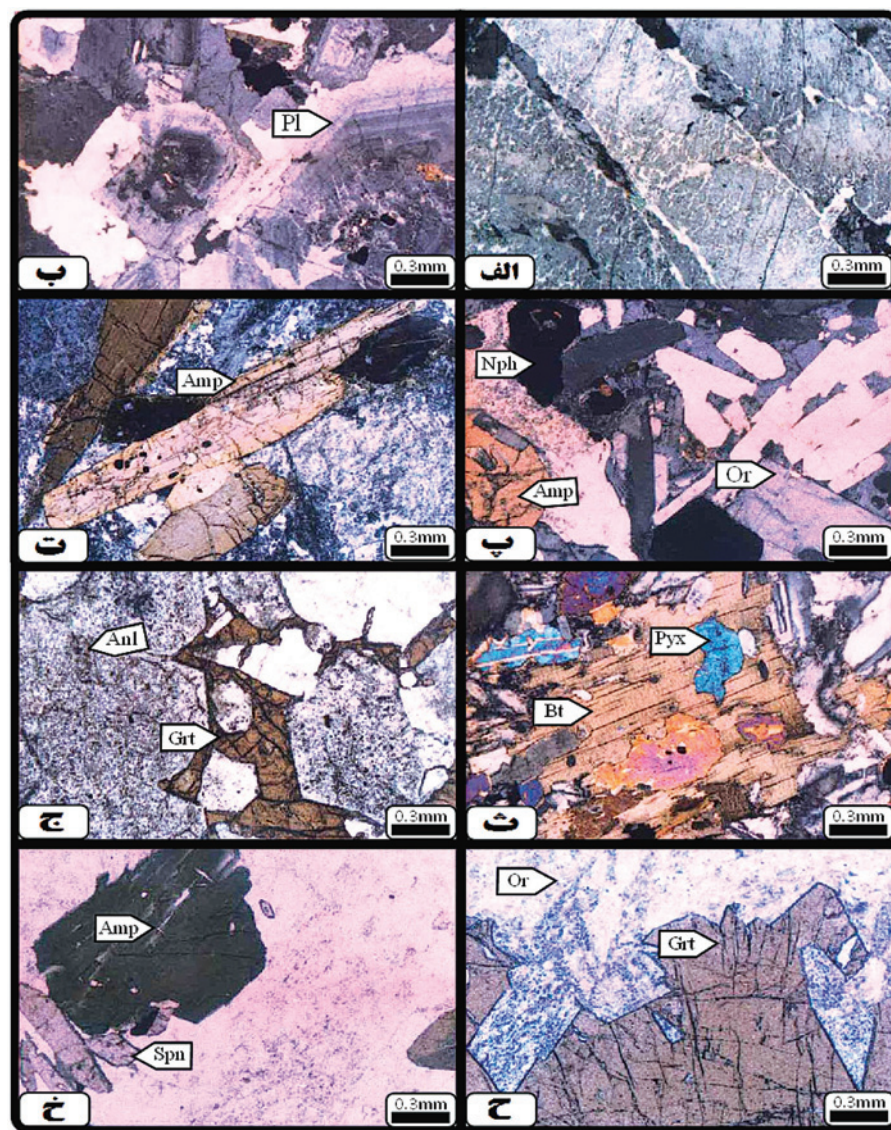
- بر اساس مطالعات ژئوشیمیابی نمونه های مربوط به توده نفوذی و دایک های وابسته جزو سنگ های سری آکالان و از نوع غنی از پتاسیم (شوشنیتی) هستند. از لحاظ ضریب اشباع از آلومینیم سنگ های مورد بررسی جزو سنگ های متنا آلومینیوس (نزدیک مرز محدوده پر آکالان) هستند. بر اساس کانی شناسی، ویژگی های شیمیابی و ضریب آگپایتیک نفلین سینیت های مورد بررسی و دایک ها و پگماتیت های وابسته به آن جزو انواع میاسکیتیک به شمار می روند. همچنین بر اساس ژئوشیمی عناصر فرعی و کثیاب خاکی، نفلین سینیت مورد مطالعه به محیط های زمین ساختی مرتبط با فروزانش یا پس از برخورد تعلق دارد.



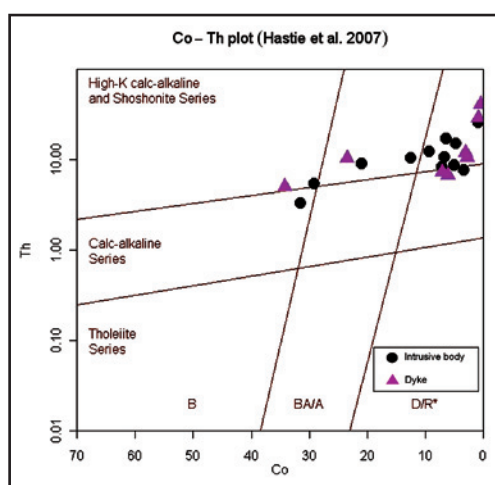
شکل ۱- نقشه زمین شناسی، موقعیت جغرافیایی و راه های دسترسی به توده نفوذی کلیبر (با تغییرات بر گرفته از نقشه های ۱:۱۰۰۰۰۰ کلیبر و ورزقان (امامی، ۱۳۷۹؛ مهرپرتو و همکاران، ۱۳۷۱) این توده در شمال باخته نقشه ۱:۲۵۰۰۰۰ اهر واقع شده است. موقعیت آن در نقشه های ۱:۱۰۰۰۰ شامل بخش خاوری نقشه ۱:۱۰۰۰۰ کلیبر و بخش باخته نقشه ۱:۱۰۰۰۰ ورزقان است.



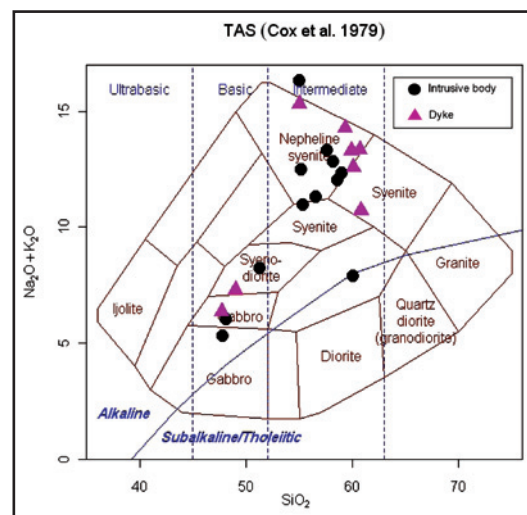
شکل ۲- تصاویر صحرایی از توده نفوذی کلیر؛
الف) نمونه دستی از توده کلیر که قسمت بالایی
آن سینیت نفلین دار، بخش میانی میکروسینیت، که
گاهی حاوی بلورهای درشت گارن特 هستند و بخش
تحتانی سینیت غنی از گارن特 که حالت پگماتیتی نیز
به خود می‌گیرد؛ ب) نمونه‌ای از پگماتیت‌های کلیر
که در آن بلورهای کشیده و درشت آمفیبول به طور
قابل ملاحظه‌ای مشاهده می‌شود؛ ت) دایک‌ها و
پگماتیت‌های نفلین سینیتی که توده نفلین سینیتی کلیر
را قطع کرده‌اند؛ ث) پگماتیت‌های سینیتی و نفلین
سینیتی صورتی رنگ در بخش نفلین گابروی.



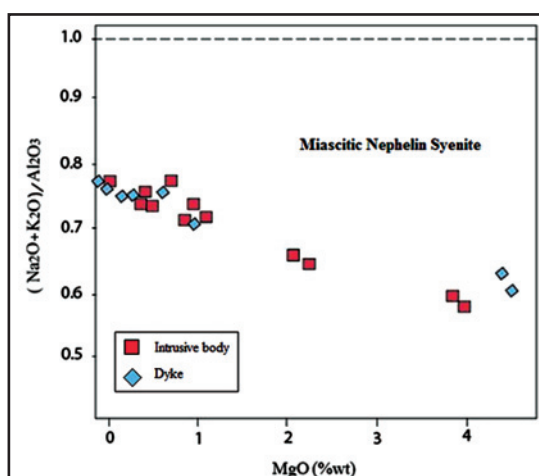
شکل ۳- تصاویر میکروسکوپی از توده نفوذی
کلیر؛ الف) ارتوکلاز با بافت میکروپرتیتی (XPL)؛
ب) بلورهای پلازیوکلاز در اندازه‌های مختلف که
اغلب دارای زونینگ هستند (XPL)؛ پ) بلورهای
شکل دار آلکالی فلدسپار (ارتوکلاز) که فضاهای بین
آنها توسط نفلین پر شده؛ علاوه بر این در این تصویر
گارن特 در اندازه‌های مختلف به همراه آمفیبول قهوه‌ای
مشاهده می‌شود (XPL)؛ ت) آمفیبول‌های کشیده که
گاهی ماکل نیز نشان می‌دهند (XPL)؛ ث) بیوتیت
با بافت پویی کلیتیک که در آن ادخال‌های پیروکسن
قابل مشاهده است (XPL)؛ ج) فنوکریست‌های آنالسیم
که گارن特 قهوه‌ای به صورت بین‌دانه‌ای در آن دیده
می‌شود (PPL)؛ ح) کانی درشت ملاتیت با رنگ
قهوه‌ای که با بلورهای ارتوکلاز حالت همرشدی نشان
می‌دهد (PPL)؛ خ) اسفن در کنار آمفیبول (PPL)
پلازیوکلاز، Or = Orthoclase، Pl = Plagioclase،
Nph = Nepheline، Pyx = Pyroxene، Bt = Biotite،
Grt = Garnet، Spn = Spinel، Anl = Anorthite،
Grt = Garnet، Or = Orthoclase، Spn = Spinel،
Anl = Anorthite، Pyx = Pyroxene، Bt = Biotite،
Grt = Garnet. علامت .Kretz (1983) مورد استفاده از



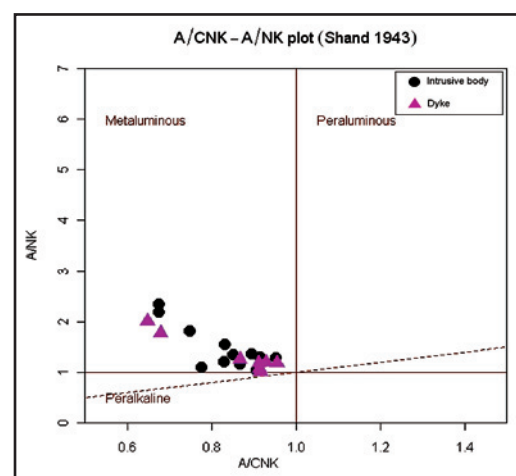
شکل ۵ - نمودار Co-Th (Hastie et al., 2007) برای نشان دادن هیزان پتانسیم سنگ‌های مورد بررسی، این نمودار و پایین بودن هیزان تیتانیم در نمونه‌ها، سری شوشوئیتی را تأیید می‌کند.



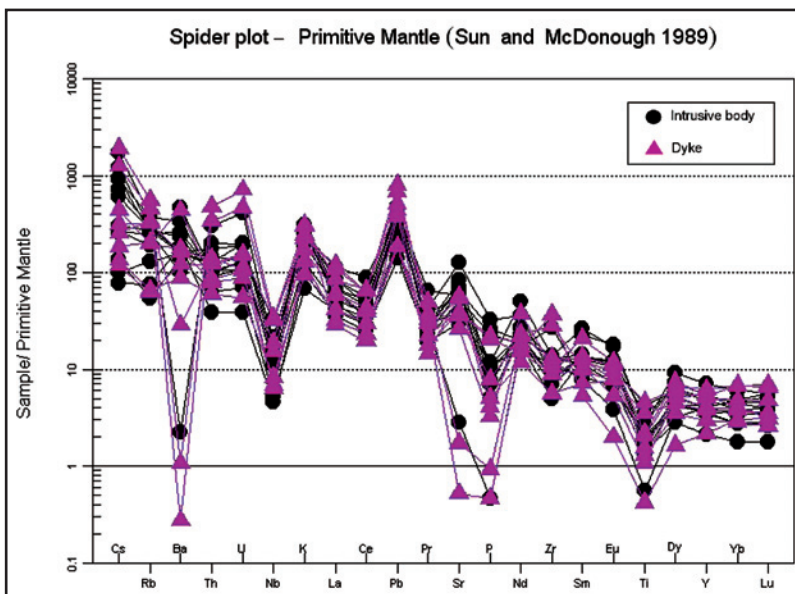
شکل ۴ - نمودار مجموع آلکالی در برابر سیلیس (TAS) برای طبقه‌بندی شیمیایی نمونه‌های مورد بررسی (Cox et al., 1979).



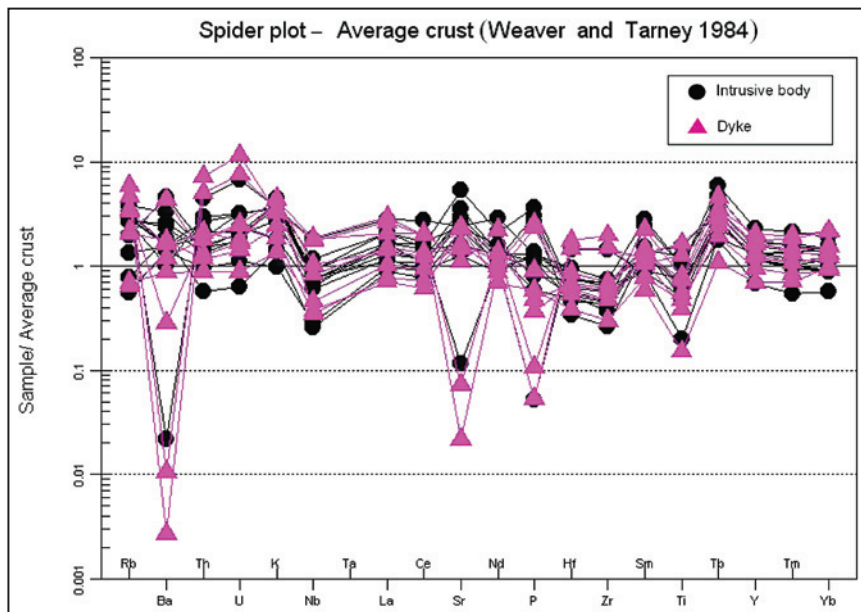
شکل ۷ - طبقه‌بندی نمونه‌های مورد بررسی توسط ضریب آگپایتیک Goldschmidt (1930) که در برابر O_2 (Shand 1943) می‌باشد.



شکل ۶ - نمودار تعیین ضریب اشباع از آلومن (Shand 1943) که در آن موقعیت نمونه‌های مورد بررسی نشان داده شده است.

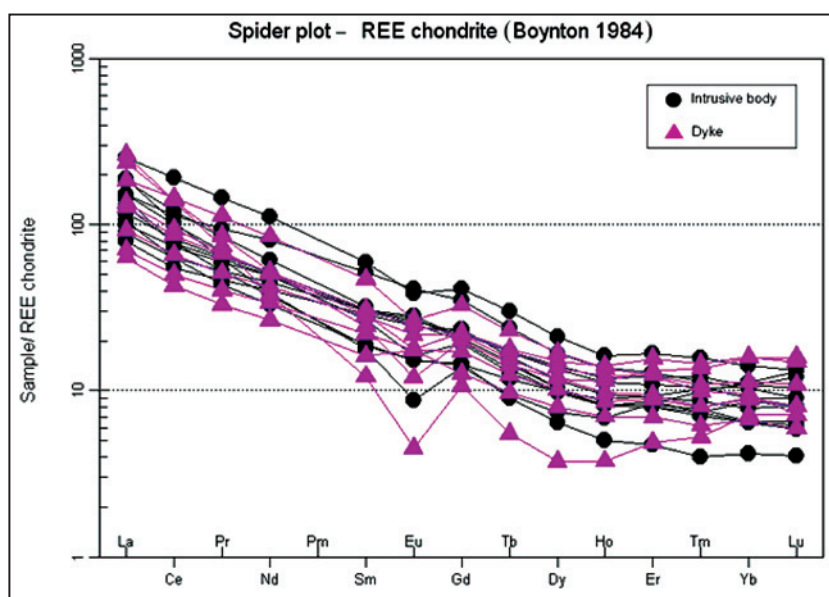


شکل ۸ - نمودار عنکبوتی بهنجار شده به گوشته اولیه (Sun & McDonough, 1989) برای کل نمونه‌های مورد بررسی.

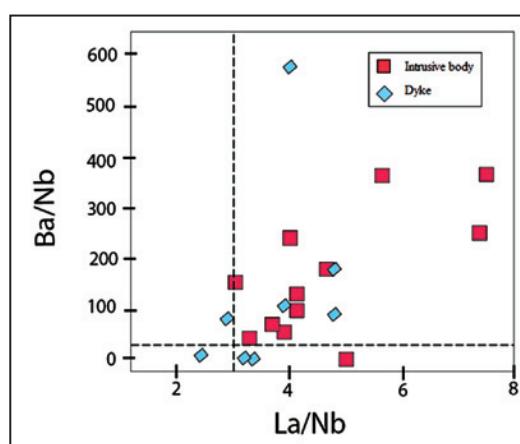


شکل ۹- نمودار عنکبوتی بهنجار شده به متوسط پوسته برای کل نمونه های (Weaver & Tarney, 1984)

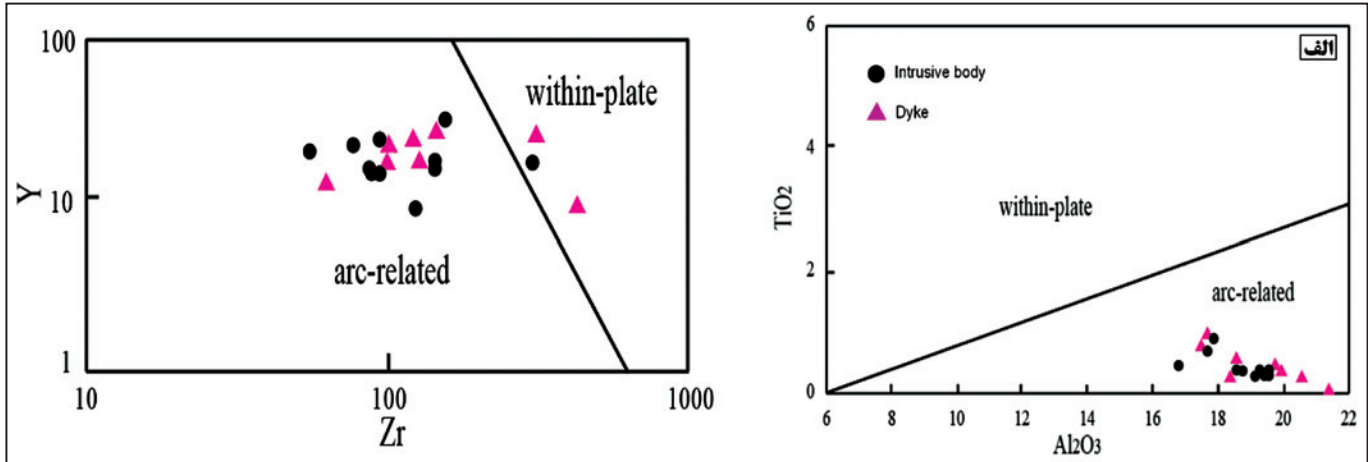
مورد بررسی.



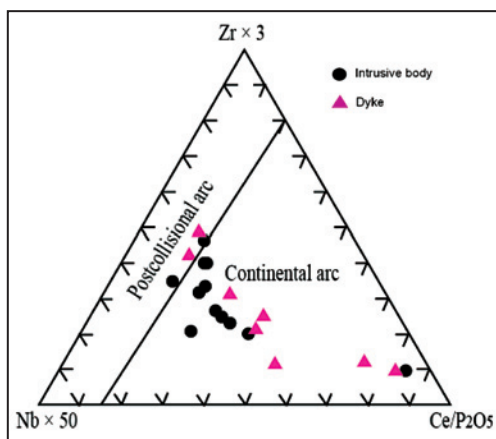
شکل ۱۰- الگوی عناصر کمیاب خاکی بهنجار شده به کندریت (Boynton, 1984) برای نمونه های مورد بررسی.



شکل ۱۱- نمودار Ba/Nb در برابر La/Nb



شکل ۱۲- نمودار (الف) TiO_2 در برابر Al_2O_3 و نمودار (ب) Y در برابر Zr برای جدا کردن کمان های قاره ای از سنگ های درون صفحه ای.(Muller et al., 1992)



شکل ۱۳- نمودار سه تایی $\text{TiO}_2/100 - \text{La} - \text{Hf} \times 10$ برای جداش کمان های قاره ای از کمان های پس از برخورد قاره ای.(Muller et al., 1992)

جدول ۱- مشخصات سنگ نگاری و موقعیت جغرافیایی نمونه های معرف مطالعه شده از توده نفوذی کلیبر که تحت تجزیه XRD قرار گرفته اند. CG: گرانولار دانه درشت؛ FG: گرانولار دانه ریز؛ MG: گرانولار دانه متوسط؛ PFG: پورفیری با زمینه گرانولار دانه ریز. علائم اختصاری کانی ها از Kretz (1983) بوده و به ترتیب فراوانی ذکر شده اند.

St. N.	Sample	Minerals*	Texture	Altitude (m)	Lat. / Lon. (UTM)
3.3	KD7	Kfs+Pl±Ne+Bt+Cpx+Opq+Spn+Ap+Zrn	PFG	1792	38 S 677664 4294995
5	KB10	Kfs+Ne+Pl+Cpx+Hbl+Sdl+Anl+Grt+Bt+Opq+Ap	PFG	1784	38 S 677081 4295932
6.1	KB13	Kfs+Sdl+Anl+Ne+Grt+Bt+Hbl+Pl+Ccn+Opq+Spn+Ap+Zrn	MG	1775	38 S 676986 4296186
8	KD17	Kfs+Pl±Ne+Anl+Cpx+Hbl+Opq+Bt+Spn+Ap	CG	1779	38 S 677145 4295134
11	KB21	Pl+Cpx+Kfs±Ne+Bt+Opq+Ap+Zrn	MG	1847	38 S 676562 4294526
15	KB27	Kfs+Hbl+Pl±Ne+Cpx+Anl+Grt+Bt+Opq+Spn+Ap	MG	2013	38 S 672955 4295409
21	KD35	Hbl+Pl+Kfs+Cpx+Opq+Ap	MG	1664	38 S 677669 4294458
25	KB41	Kfs+Pl+Ne+Cpx+Hbl+Bt+Grt+Anl+Opq+Spn+Ap	MG	1244	38 S 678770 4298317
28	KB45	Pl+Kfs+Ne+Cpx+Bt+Anl+Opq+Ap	PFG	1493	38 S 677981 4297448
37	KB54	Kfs+Pl+Hbl+Ne+Grt+Bt+Anl+Cpx+Opq+Spn+Ap	CG	1663	38 S 673595 4301252
39	KD59	Kfs+Grt+Pl+Hbl±Cpx±Anl±Ne+Opq+Spn+Ap+Zrn	MG	2115	38 S 670822 4301102
39	KD61	Kfs+Ne+Grt+Ntr+Hbl+Pl+Opq	MG	2115	38 S 670822 4301102
41	KD64	Kfs+Pl+Hbl+Grt+Ne+Cpx+Anl+Sdl+Spn+Opq+Bt+Ap	FG	2088	38 S 670868 4301440

جدول ۲- نتایج آنالیز نمونه های مورد بررسی از توده کلیر شامل عناصر اصلی، فرعی و کمیاب خاکی.

Oxide	KB-10	KB-13	KB-2	KB-21	KB-26	KB-27	KB-41	KB-45	KB-48	KB-54	KB-58	KB-63
<chem>SiO2</chem>	57.6	55	48.1	47.8	60.1	55.4	58.6	51.3	59	58.2	56.6	55.2
<chem>TiO2</chem>	0.4	0.12	0.93	0.74	0.45	0.6	0.36	0.6	0.29	0.38	0.3	0.39
<chem>Al2O3</chem>	18.7	23.2	17.9	17.7	16.75	18.45	19.05	18.5	19.05	19.25	19.45	19.6
<chem>Fe2O3</chem>	2.24	1.36	3.71	3.65	2.14	2.39	1.57	3.06	1.31	1.79	2.31	2.27
<chem>FeO</chem>	1.13	0	5.16	4.67	1.97	1.62	0.92	2.82	0.73	0.93	1.47	1.44
<chem>MnO</chem>	0.12	0.1	0.19	0.17	0.13	0.25	0.09	0.13	0.07	0.13	0.13	0.17
<chem>MgO</chem>	0.81	0.05	3.95	4.08	2.17	1.2	0.6	2.37	0.48	0.55	0.96	1.04
<chem>CaO</chem>	3.83	1.64	10.05	10.25	5.12	4.3	3.32	7.95	2.75	3.04	4.06	3.96
<chem>Na2O</chem>	4.78	8.7	2.98	3.27	4.08	3.53	3.15	2.4	2.93	4.93	3.72	5.14
<chem>K2O</chem>	8.53	7.63	3.05	2.04	3.8	7.42	8.88	5.82	9.4	7.91	7.6	7.36
<chem>P2O5</chem>	0.21	0.01	0.51	0.57	0.26	0.25	0.17	0.7	0.11	0.15	0.23	0.25
<chem>LOI</chem>	0.88	2.09	0.7	0.34	0.71	2.24	1.31	1.26	1.56	1.43	1.69	1.51
Total	99.9	99.9	98.2	96.2	98.1	98.1	98.5	98	98	99.1	99	99.1

Trace Elements (ppm)

Ba	2330	15.5	1300	993	1100	1130	1825	3250	1660	1135	1110	706
Rb	234	242	47.8	34	82.2	181.5	162	120	172	193.5	176	164.5
Sr	1775	58.6	1125	1385	630	1225	1505	2700	1495	1180	1325	804
Y	15.7	18.1	21.7	22.9	18.7	32.2	15.8	24.6	15.9	18.5	9.6	16.2
Zr	90	306	56	78	132	155	94	96	87	142	124	144
Nb	9	11.7	3.3	3.7	7.9	23.9	9.6	8.3	10.1	15.4	9.7	12.1
Th	8.34	25.6	3.29	5.39	10.5	12.4	8.75	9.06	7.68	15.15	10.65	17
Pb	28	33	10	14	12	30	25	19	27	34	30	27
Ga	14.9	23	17.8	18.6	17.9	17.2	13.5	16.6	13.8	15.9	16	14.5
Zn	72	60	95	83	51	103	50	80	46	76	77	77
Cu	128	12	46	180	13	55	36	216	28	34	42	41
Ni	<5	5	7	12	6	15	<5	10	<5	12	<5	<5
V	105	35	313	289	101	143	74	207	60	78	112	100
Cr	<10	<10	<10	10	10	20	<10	10	10	10	<10	<10
Hf	2.2	6.7	1.6	2.4	3.6	4.5	2.4	2.7	2.3	3.5	2.8	3.6
Cs	7.24	13.85	0.61	1.08	0.8	9.65	2.05	2.13	2.41	5.8	4.81	7.39
Ta	0.7	0.5	0.3	0.3	0.6	1.7	0.9	0.6	0.9	1	0.6	0.7
Co	7.1	0.8	31.5	29.1	12.5	9.3	5	20.9	3.4	4.8	6.7	6.4
U	2.77	8.79	0.82	1.46	3.06	2.71	2.27	2.64	2.34	4.06	4.21	4.13
W	4	2	1	1	1	3	3	4	5	4	5	5
Sn	1	1	1	1	1	1	1	1	1	1	1	1
Mo	5	<2	<2	<2	<2	3	2	3	2	3	3	4

Rare Earth Elements (ppm)

La	36.3	58.9	24.8	27.4	32.7	79.1	44.6	47.1	31.4	57.3	40	47.2
Ce	66.4	83.4	44.7	51.5	51.5	155	62.6	91.5	59.8	97.6	63.9	81.3
Pr	7.8	7.58	5.63	6.38	5.33	17.9	7.57	11.45	7.29	10.4	6.44	8.5
Nd	30.9	23	24.2	26.9	19.7	67.1	29.7	48.8	29.6	36.9	22.4	29.5
Sm	5.94	3.5	5.58	5.97	3.69	11.55	5.89	10.05	5.87	6.27	3.65	5.18
Eu	2.07	0.64	1.82	1.93	1.12	2.84	1.86	3.02	2.02	1.76	1.12	1.19
Gd	5.36	3.62	5.72	5.79	3.71	10.6	5.17	9.08	5.26	6.07	3.75	4.98
Tb	0.7	0.45	0.81	0.82	0.56	1.42	0.64	1.14	0.68	0.76	0.43	0.61
Dy	3.35	2.38	4.34	4.56	3.21	6.78	3.19	5.41	3.35	3.7	2.07	3.15
Ho	0.58	0.49	0.8	0.86	0.64	1.17	0.59	0.98	0.58	0.68	0.36	0.58
Er	1.69	1.77	2.29	2.53	1.97	3.51	1.73	2.69	1.68	1.93	1	1.81
Tm	0.24	0.32	0.34	0.39	0.33	0.51	0.25	0.37	0.23	0.28	0.13	0.24
Yb	1.34	2.36	1.9	2.24	2.23	2.95	1.37	2.18	1.34	1.65	0.87	1.8
Lu	0.2	0.42	0.29	0.34	0.39	0.43	0.21	0.29	0.19	0.26	0.13	0.26
Σ REE	162.87	188.83	123.22	137.61	127.08	360.86	165.37	234.06	149.29	225.56	146.25	186.3

جدول ۳- نتایج آنالیز نمونه‌های مورد بررسی از دایک‌های کلیر شامل عناصر اصلی، فرعی و کمیاب خاکی.

Oxide	KD-17	KD-25	KD-35	KD-40	KD-5	KD-59	KD-6	KD-64	Oxide	KD-17	KD-25	KD-35	KD-40	KD-5	KD-59	KD-6	KD-64
SiO_2	60.1	55	49	59.9	47.7	60.7	60.8	59.3	V	98	22	281	73	378	68	101	44
TiO_2	0.28	0.09	0.75	0.33	0.99	0.47	0.44	0.23	Cr	<10	<10	<10	10	10	<10	<10	<10
Al_2O_3	18.3	21.4	17.5	19.85	17.7	19.8	18.6	20.5	Hf	1.8	8.3	2.5	3.2	2.9	3.1	4	6.9
Fe_2O_3	1.93	1.56	3.77	1.41	4.61	1.33	1.87	1.14	Cs	1.46	15.2	0.93	2.53	1.06	2.03	3.52	9.95
FeO	1.02	0	5.18	0.88	5.36	0.7	1.26	0.67	Ta	0.6	0.9	0.4	1.2	0.5	1.7	0.9	1
MnO	0.06	0.13	0.2	0.1	0.22	0.09	0.11	0.16	Co	7.1	0.5	23.5	3.1	34.2	2.8	6.1	0.9
MgO	0.76	0.03	4.5	0.39	4.61	0.3	1.06	0.1	U	2.17	14.95	3.17	2.3	1.15	3.28	1.84	9.78
CaO	2.53	1.09	8.76	2.6	10.15	2.14	3.66	1.71	W	2	2	2	4	2	5	2	2
Na_2O	3.25	8.54	3.43	3.94	3.5	4.28	5.64	6.88	Sn	1	1	1	1	1	1	1	1
K_2O	9.35	6.78	3.88	9.38	2.85	9.06	5.09	7.4	Mo	<2	<2	<2	<2	<2	<2	<2	<2
P_2O_5	0.11	0.01	0.44	0.09	0.48	0.07	0.17	0.02	Rare Earth Elements (ppm)								
LOI	0.94	3.5	1.37	1.08	0.85	1.21	0.68	1.06	La	19.7	82.5	21.9	39.4	28.7	57.8	42.1	74
Total	99.2	98.1	99.8	100.5	100	100	99.8	99.2	Ce	34.7	113	40.6	69.9	53.2	117	76.4	113
Trace Elements (ppm)									Pr	4.01	9.03	4.93	8.12	6.24	13.75	8.4	10.4
Ba	3060	7.4	851	1140	615	199.5	1245	1.9	Nd	15.9	22.7	20.3	31.1	25.4	51	30.4	31.3
Rb	130.5	358	39.4	205	42.2	215	125.5	287	Sm	3.16	2.37	4.31	6.02	5.47	9.15	5.6	4.76
Sr	1190	10.9	817	1125	818	548	742	36.3	Eu	1.29	0.33	1.3	1.82	1.59	1.97	1.32	0.88
Y	13.3	9.8	17	18.4	22.9	24.5	28.3	24.6	Gd	3.29	2.76	4.45	5.65	5.63	8.47	5.78	5.2
Zr	63	413	99	130	98	120	146	312	Tb	0.46	0.26	0.59	0.74	0.82	1.09	0.84	0.68
Nb	4.9	24	4.5	13.4	5.9	23.6	10.7	22.7	Dy	2.57	1.2	3.28	3.86	4.45	5.46	4.88	3.81
Th	7.29	41	10.3	11.95	5.04	10.55	6.73	28.9	Ho	0.5	0.27	0.62	0.7	0.88	0.98	1.02	0.82
Pb	27	57	13	31	13	37	13	49	Er	1.46	1.02	1.86	1.99	2.59	2.6	3.28	2.78
Ga	13.7	28.2	14.3	15.1	18.7	15.2	17.4	21.8	Tm	0.2	0.17	0.26	0.26	0.35	0.32	0.47	0.44
Zn	38	100	88	59	125	65	37	88	Yb	1.4	1.49	1.85	1.89	2.37	2	3.35	3.31
Cu	125	9	72	20	69	37	12	12	Lu	0.19	0.23	0.26	0.26	0.35	0.23	0.48	0.51
Ni	6	<5	6	8	10	<5	<5	<5	ΣREE	88.83	237.33	106.51	171.71	138.04	271.82	184.32	251.89

کتابنگاری

- اشرفی، ن.، ۱۳۸۸- کانی‌شناسی، سنگ‌شناسی و ژئوشیمی فویدوسینیت‌های آذربایجان شرقی، شمال باختر ایران. پایان‌نامه دکتری دانشگاه تبریز، دانشکده علوم طبیعی، ۱۹۰ ص.
- اما‌می، م.، ۱۳۷۹- نقشه زمین‌شناسی ۱/۱۰۰۰۰۰ اکلیر. انتشارات سازمان زمین‌شناسی و اکتشافات معدنی کشور. بایاخانی، ع.، ۱۳۶۰- مطالعه سنگ‌نگاری و ژئوشیمی نفلین‌سینیت‌ها و فنولیت‌های آذربایجان. پایان‌نامه کارشناسی ارشد. دانشگاه علوم، دانشگاه تهران. بایاخانی، ع.، ر.، لسکویه، ج. ل. و ریبو، ر.، ۱۳۶۹- شرح نقشه زمین‌شناسی چهارگوشه اهر. مقیاس ۱:۲۵۰۰۰۰. سازمان زمین‌شناسی کشور.
- حاج‌علی اوغلی، ر.، ۱۳۸۶- ذوب بخشی سنگ‌های رسی - نیمه‌رسی در هاله دگرگونی کلیر - شمال باختری ایران، نشریه علوم زمین، سال شانزدهم، شماره ۶۴.
- حاج‌علی اوغلی، ر.، ۱۳۸۰- بررسی دگرگونی مجاورتی سنگ‌های رسی و آهکی در هاله دگرگونی نفلین‌سینیت کلیر و کاربرد نتایج در تفسیر تکامل پوسته منطقه مورد مطالعه، پایان‌نامه کارشناسی ارشد، دانشگاه تبریز، ۱۶۰ ص.
- عامری، ع.، ۱۳۸۶- بررسی‌های کانی‌شناسی و ژئوشیمیایی و ویژگی‌های اقتصادی نفلین‌سینیت‌های آذربایجان شرقی (کلیر، بزقوش و رزگاه) با نگرشی ویژه بر عناصر کمیاب آنها، طرح پژوهشی دانشگاه تبریز.
- مهرپرتو، م.، امینی‌فضل، آ.، رادفر، ج.، امامی، م.، ۱۳۷۱- نقشه ۱/۱۰۰۰۰۰ ورزقان. انتشارات سازمان زمین‌شناسی و اکتشافات معدنی کشور.
- نجف‌زاده، ع.، ۱۳۷۱- زمین‌شناسی اقتصادی کاسارهای نفلین‌سینیت رزگاه و کلیر و امکان تولید آلومینا از این ذخایر. پایان‌نامه کارشناسی ارشد. دانشگاه علوم زمین. دانشگاه شهید بهشتی. ۲۲۱ ص.

References

- Alavi, M., 1991- Tectonic Map of the Middle East, 1:5000000. Geological Survey of Iran.
- Baker, B.H., 1987- Outline of the petrology of the Kenya Rift alkaline province. In: Fitton, G.G., Upton, B.G.J. (Eds.), Alkaline Igneous Rocks. Geological Society Special Publication, vol. 30, pp. 293-311.
- Boynton, W.V., 1984- Geochemistry of rare earth elements: meteorite studies. In: Henderson, P. (Ed.), Rare Earth Element Geochemistry. Elsevier, New York, pp. 63-114.

- Clague, D. A. Frey, F. A., 1982- Petrology and trace element geochemistry of the Honolulu Volcanics, Oahu: Implications for the oceanic mantle below Hawaii, I. Journal of Petrology, 23, 447-504.
- Cox, K.G., Bell, J.D., Pankhurst, R.J., 1979- The interpretation of igneous rocks. London; Allen and uniwinn, 450pp.
- Edward, C.M.H., Menzies, M.A., Thirlwall, M.F., Morrid, J.D., Leeman, W.P., Harmon, R.S., 1994- The transition to potassic alkaline volcanism in island arcs: the Ringrite-Beser Complex, East Java, Indonesia, J. Petrol., 35:1557-1595.
- Fisk, M.R., Upton, B.G.J., Ford, C.E., 1988- Geochemical and experimental study of the genesis of magma of Reunion Island, Indian Ocean. Journal of Geophysical Research 93. 4933-4950.
- Fowler, M. B., 1992- Elemental and O-Sr-Nd isotope geochemistry of the Glen Dessary syenite, NW Scotland. J. Geol. Soc. (Lond) 149, 209-220.
- Goldschmidt, V.M., 1930- Elemente und Minerale pegmatitischer Gesteine Nachr. Gesellsch. Wiss. Gottingen. Math. Physics. Kl., 370-378.
- Hastie, A. R., Kerr, A.C., Pearce, J. A. & Mitchell, S. F., 2007- Classification of altered volcanic island arc rocks using immobile trace elements: development of the Th-Co discrimination diagram. J Pet 48, pp. 2341-2357.
- Ionov, D.A., Hofmann, A.W., 1995- Nb-Ta rich mantle amphiboles and micas: implication for subduction-related metasomatic trace element fractionations. Earth Planet SciLett. 131: 341-356.
- Jung, S., Hoffer, E. and Hoernes, S., 2007- Neo- Proterozoic rift- related syenites (North Damara Belt, Namibia): Geochemical and Nd-Sr-PB-O isotope constraints for mantle sources and petrogenesis. Lithos, 96, 415-435.
- Kogiso, T., Tatsumi, Y., Nakano, S., 1997- Trace element transport during dehydration processes in the subduction oceanic crust: 1. Experiments and implication for the origin of ocean island basalts. Earth and Planetary Science Letters, 148, 193-205.
- Kretz, R., 1983- Symbols for rock-forming minerals. American Mineralogist, 68: 277-279.
- McDonough, W.F., McCulloch, M.T., Sun, S.S., 1985- Isotopic and geochemical systematic in Tertiary- Recent basalts from southeastern Australia and implications for the evolution of the subcontinental lithosphere. Geochimica et Cosmochimica Acta 49, 2051-2067.
- Menzies, M., 1987- Alkaline rocks and their inclusions: a window on the Earths interior. In: Fitton, J.G., Upton, B.G.J. (Eds.), Alkaline Igneous Rocks. Geological Society Speacial publication, vol. 30, pp. 15-27.
- Muller, D., Rock, N.M.S., Groves, D.I., 1992- Geochemical discrimination between shoshonitic and Potassic Volcanic racks From Different Tectonic Setting: A Pilot study. Mineralogy and Petrology, 46, 259-289.
- Rollinson, H., 1993- Using geochemical data: Evalution, presentation, interpretation. Longman, 325 pp.
- Shand, S.J., 1943- Eruptive rocks: Their genesis, composition, Classification and their ralarion to Ore – deposits, 3 rd edition. John Wiely Sons, New York, pp. 488.
- Soesoo, A., 2000- Fraction crystallization of mantle derived melt as a mechanism for some I-Type granite petrogenesis: An example from Iachlan fold belts, Australia Journal of the geological Society, Candon, 157.
- Sorensen, H., 1979- The alkaline rocks. Chichster: willy, 622pp.
- Srivastava, R.K., Singh, R.K., 2004- Trace element geochemistry and genesis of Precambrian sub alkaline mafic dykes from the central Indian craton: evidence for mantle metasomatism, Jurnal of Asia Earth sciences, 23, 373-389.
- Stocklin, J., 1977- Structural correlation of the Alpine ranges between Iran and Central Asia. Mem. Ser. Geol. France, N. 8, p 333- 353.
- Sun, S.S. and McDonough, W.F., 1989- Chemical and isotopic systematics of oceanic basalts: implications for mantle composition and processes. In: Sounders, A.D., and Norry, M.J. (eds.), Magmatism in ocean basins. Geol. Soc. London. Spec. Pub. 42, PP.313-345.
- Thirlwall, M.F., Burnard, P., 1990- Pb-Sr-Nd isotope and chemical study of the origin of undersaturated and oversaturated shoshonitic magmas from the Borralan pluton, Assynt, NW Scotland. J. Geol. Soc. (Lond.) 147, 259-269.
- Thompson, R.N. and Fowler, M.B., 1986- Subdaction related shoshonitic and ultrapotassic magmatism, a study of Siluro- Ordovician syenites, from the Scottish Caledonids, Contrib. Minra. Petrol, 94, 507-522.
- Wass, S.Y., Roger, N.W., 1980- Mantle metamorphism- Precursor to alkaline continental volcanism. Geochimica et Cosmochimica Acta, 44, 1811-1823.
- Weaver, B. and Tarney, J., 1984- Emppirical approach to estimating the composition of the continental crust. Nature, 310, 575-657.

Investigation of Petrography, Petrogenesis and Geochemical Features of Kalaibar Nepheline Syenitic Body, Kalaibar, East Azarbajian

R. Ferdowsi ¹, M. Moayyed ², A. Kamali ^{*1}

¹ Ph.D. Student, Department of Geology, Faculty of Natural Sciences, University of Tabriz, Tabriz, Iran

² Professor, Department of Geology, Faculty of Natural Sciences, University of Tabriz, Tabriz, Iran

Received: 2013 June 01

Accepted: 2013 October 22

Abstract

The Kalaibar nepheline syenitic body is located in East Azabaijan, NW of Iran. This alkalic body generally intruded semi-deeply into the Cretaceous and Eocene volcanic and sedimentary rocks. Based upon chemical classification, the composition of studied intrusive bodies are nephelines bearing syenite (nepheline syenite), nepheline bearing gabbro (alkalic gabbro), syenite and quartz monzonite (syeno-diorite) in order of abundance. In addition, the composition of accompanying dyke and pegmatitic units are nepheline syenite, syenodiorite and gabbro. Common textures of studied rocks are prophyritic granular and granular and accompanying dykes have fine grained granular, porphyritic and coarse grained granular textures. According to mineralographic studies and XRD analysis results, the main mineral phases contain orthoclase, albite, nepheline, oligoclase, hornblend, augite and Melanite. The nature of parent magma of these intrusives is potassium rich alkaline, metaluminous and miaskitic. Petrographical and geochemical studies based upon accessory and rare elements illustrate that these intrusives formed in a subduction or post collision related tectonic setting, which their lithological variety is justifiable by fractionation crystallization. The studied intrusives show the enrichment of Zn, Ba, Sr, Th and Pb and enrichment of Co, Sr, Pb and V in accompanying dykes. LREEs relative to HREEs show enrichment. Comparison of studied body with some other ones of corresponding type of the world in terms of the amount of accessory and rare elements shows that the Kalaibar nepheline syenitic body is resemble to the central Anatoly (Turkey), Zijinshan (china) and Musale (India) bodies.

Key words: Nephelin syenite, Kalabar, Miaskitic, Potassium rich alkalan.

For Persian Version see pages 29 to 40

*Corresponding author: A. Kamali; E-mail: Am_Kamali@tabrizu.ac.ir